

### 3次元数値解析による渦励振応答の解の精度

○九州産業大学 学生会員 井上 宗久, 正会員 吉村 健, 学生会員 田中 孝久  
学生会員 林 祐一, 非会員 原田 健彦

#### 1. まえがき

S型の平面線形を有する複合斜張橋に対し、一様気流中での渦励振応答特性はすでに調べた。そこでは、主桁の幅・横断勾配の異なる7断面に対する非定常空気力を風洞実験により求め、次に3次元数値解析で渦励振応答の定常振動解を推定した<sup>1,2)</sup>。本研究では、より少ない断面で同橋の解析を行い、その解の精度を調べた。更に、時刻歴応答解を求め、上記解との比較検討も行った。その概要を以下に示す。

#### 2. 検討構梁の概要

図-1に示すように、本橋は190mの主径間、53+47=100mの側径間および70mの主塔を有する一面吊形式の3径間連続複合斜張橋である。側径間は、鋼3室とPC3室の逆梯型箱桁でそれぞれ構成されている。橋長290mの平面線形は、曲率半径280mを有するS字型の曲線を成している。そのため、横断勾配と桁幅と桁幅は、 $i = -9\% \sim +9\%$ と $B = 23.74 \sim 25.55\text{m}$ の範囲でそれぞれ変化する(表-1)。

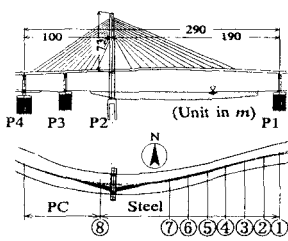


図-1 本橋の側面図と平面図

表-1 主桁の主な諸元				
Portion	$i(\%)$	Steel/PC	$B(\text{m})$	$w(kN/m)$
④	0	Steel	23.74	141.5
③⑤	3	Steel	24.12	151.3
②⑥	6	Steel	25.13	161
①⑦	9	Steel	25.55	170.4
⑧	19	PC	25.55	509

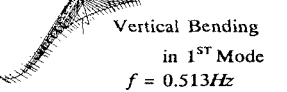


図-2 一次の固有モードと固有振動数

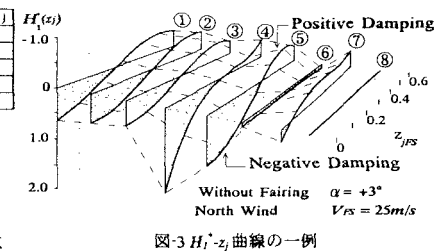


図-3  $H_i^*(z_j)$ 曲線の一例

#### 3. 検討手順

まず、鉛直曲げ1自由度系の2次元ばね支持模型を用いた風洞実験を行い、自由振動法による空力ダンピングを一様気流中で計測した。検討対象となる鉛直曲げ1次の振動モードと振動数は図-2に示すとおりであり、不動の側径間⑧を除く①～⑦の7断面に対する非定常空気力係数 $H_i^*(z_j)$ を求めた。結果の一例を図-3に示す。ただし、 $z_j$ は節点'j'の変位振幅である。次に、各風速における $H_i^*(z_j)$ を用いて、実機の渦励振応答を定常振動解析と時刻歴応答解析で推定した。更に、断面数を減らした場合について同橋の解析を行い、解の精度を比較検討した。組み合わせは①～⑦；①、③、⑤、⑦；①、④、⑦；①、⑦の4ケースである。図-3に破線で示すように、相隣る断面の間ににおける節点の $H_i^*(z_j)$ には、線形補間した近似値を用いた。

#### 4. 定常振動解

定常振動解は次の仮定と手法で求めた。①節点'j'に入力される非定常空気力は、速度振幅に比例する線形自励外力である。その係数は、節点変位 $z_j$ の非線形関数で表される(図-3)。②モーダルアナリシスとストリップセオリーを用いる。その場合、全体系の空力減衰定数 $h_a$ (対数減衰率 $\delta_a$ )は、式(1)で与えられる。

$$h_a = 0.5 \cdot \rho_a \sum_j B_j^2 \cdot H_i^*(z_j) \cdot \phi_j^2 \cdot \Delta s_j / \left( \sum_j \sum_j M_{ij} \cdot \phi_i \cdot \phi_j \right) = -\frac{\delta_a}{2\pi} \quad \cdots (1)$$

式(1)分母の()内はモード質量である。風速とモードの腹における変位振幅をメッシュ分割して解析し、得られた結果の例をコンター図表示して図-4のV-A-δ図を得た。ただし、図の(a)～(d)は、断面数7,4,3および2に対する結果である。当然のことながら、断面数を減らす程7断面の結果と異なってくる。図の結果から、実用上は3～4断面でよいと言えよう。

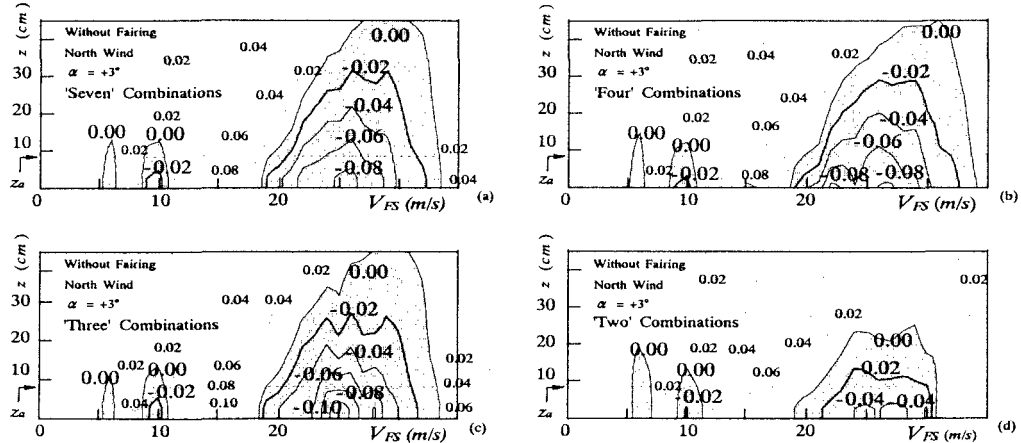


図-4 定常振動解で得られた  $V\text{-}A\text{-}\delta$  曲線、断面数は(a)～(d)で 7, 4, 3 よりび 2.

## 5. 時刻歴応答解

図-3 に示した各断面の  $H_1^*(z_j)$  は式(2)で表されている。式(1),(2)を用い、式(3)で示される運動方程式をニューマークの  $\beta$  法で解析して時刻歴応答を求めた。図-5 は、モードの腹における変位波形の解析例である。各風速について得られた結果から、図-6 (a)に示す  $V\text{-}A\text{-}\delta$  曲線を得た(7 断面使用)。図-4 (a)とこの図の間に大差は認められない。

変位振幅で表した式(2)の代わりに、時々刻々の変位  $z_j(t)$  で表した式(4)を用いると、図-6 (b)の結果が得られた。定性的には図-4 (a)と対応しているが、定量的には過大評価されている。図の(a)と(b)の縦座標スケールの違いに注意されたい。

$$H_1^*(z_j) = a_0 + a_1 |z_j| + a_2 z_j^2 + a_3 |z_j^3| \quad \cdots (2)$$

$$\ddot{q}(t) + 2(h_s - h_a)2\pi f \dot{q}(t) + (2\pi f)^2 q(t) = 0 \quad \cdots (3)$$

$$H_1^*(z_j(t)) = a_0 + a_1 |z_j(t)| + a_2 z_j^2(t) + a_3 |z_j^3(t)| \quad \cdots (4)$$

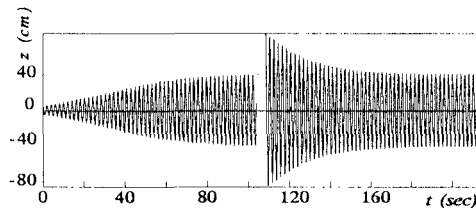


図-5 時刻歴応答解析による変位波形の例

## 6. まとめ

以上の結果をとりまとめると、以下のようなになる。

- (1) 7 断面に対する非定常空気力を用いて 3 次元応答解析するまでもなく、3~4 断面で実用上問題ない。
- (2) 定常振動解析と時刻歴応答解析で得られた  $V\text{-}A\text{-}\delta$  曲線の間には大きい差異はない。

参考文献 1) 吉村 健 : S 字型曲線複合斜張橋の予備設計段階における渦励振応答の推定、構造工学論文集 Vol. 46A, pp.1079-1084, 2000.3. 2) Yoshimura, T. et al. : Prediction of vortex excitation response for sine-curved hybrid cable-stayed bridge at preliminary design stage, J. Wind Engineering and Industrial Aerodynamics, to be published.

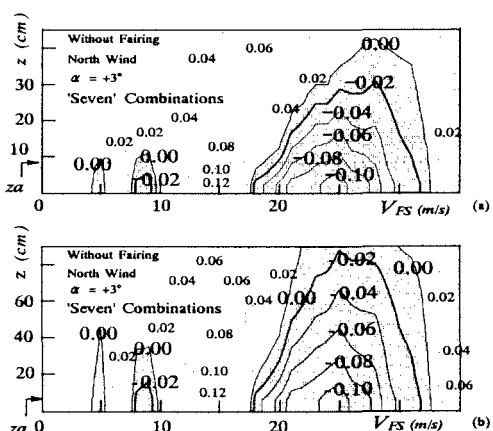


図-6 時刻歴応答解析で得られた  $V\text{-}A\text{-}\delta$  曲線。  
断面数は(a),(b)いずれも 7.